

## СВЕРХИЗЛУЧЕНИЕ ДВУХКОМПОНЕНТНЫХ СРЕД

А.В.Андреев, П.В.Полевой

Московский государственный университет им.М.В.Ломоносова

119899, Москва, Россия

Поступила в редакцию 30 ноября 1992 г.

Показано, что интенсивность импульса сверхизлучения двухкомпонентных сред может значительно превосходить интенсивность сверхизлучения для каждой из компонент в отдельности. При этом время задержки может быть увеличено на несколько порядков, что значительно снижает требования к длительности импульса накачки.

1. Традиционно, теории сверхизлучения (СИ) исходят из предположения, что в начальный момент все атомы возбуждены, а поле находится в вакуумном состоянии<sup>1-5</sup>. Это означает, что атомы возбуждаются мгновенно, то есть импульс накачки является  $\delta$ -импульсом. Исследования влияния конечности длительности импульса накачки на параметры импульсов СИ были вызваны экспериментальными исследованиями эффекта<sup>6-9</sup> и показали, что когда длительность импульса накачки начинает приближаться к величине длительности импульса СИ при мгновенной накачке, то импульс СИ начинает уширяться и менять свою форму. В традиционных лазерных схемах снижение требований к длительности импульса накачки достигается использованием различных схем модуляции добротности<sup>10</sup>. Однако, поскольку СИ является безрезонаторной генерацией, то эти схемы не могут быть непосредственно перенесены на случай СИ.

В настоящей работе мы покажем, что СИ двухкомпонентных сред качественно отличается от традиционного СИ. В частности, при определенных условиях появляется возможность существенно увеличить время задержки и сократить длительность импульса СИ. Это позволяет одновременно ослабить требования к длительности импульса накачки и увеличить интенсивность СИ.

2. Пусть активная среда состоит из двух компонент – "медленной" и "быстрой" (сечение резонансного поглощения  $\sigma_b$  для быстрой компоненты много больше, чем для медленной  $\sigma_a \ll \sigma_b$ ). Исследуем динамику эволюции этой системы в когерентном режиме, когда времена однородной релаксации каждой из компонент много больше длительности импульса, генерируемого такой средой. В начальный момент быстрая среда находится в основном состоянии, а внешние источники накачки возбуждают медленную компоненту на верхний уровень резонансного перехода.

Система уравнений для медленно меняющихся амплитуд встречных волн  $a_{1,2}$ , волн поляризаций  $p_{1,2}$  ( $q_{1,2}$ ) для медленной (быстрой) компонент и инверсий населенностей  $r_1(r_2)$  имеет вид:

$$\frac{\partial a_1}{\partial t} + c \frac{\partial a_1}{\partial x} = p_1 + q_1 + p_0(1 + r_1) + q_0(r_0 + r_2),$$

$$\frac{\partial a_2}{\partial t} - c \frac{\partial a_2}{\partial x} = p_2 + q_2 + p_0(1 + r_1) + q_0(r_0 + r_2),$$

$$\frac{\partial p_{1,2}}{\partial t} + \alpha_1 p_{1,2} = \beta_1 a_{1,2} r_1,$$

$$\frac{\partial q_{1,2}}{\partial t} + \alpha_2 q_{1,2} = \beta_2 a_{1,2} r_3,$$

$$\frac{\partial r_1}{\partial t} = -(a_1 p_1 + a_2 p_2) + F, \quad \frac{\partial r_2}{\partial t} = -(a_1 q_1 + a_2 q_2), \quad (1)$$

где введены безразмерные время  $t = t'/\tau$  и координата  $x = x'/L$  ( $L$  – длина среды,  $\tau = L/c$ ). Амплитуды  $a_{1,2}$  нормированы таким образом, что  $n_{1,2} = |a_{1,2}|^2$  есть плотности числа квантов в единицах плотности числа атомов медленной компоненты  $n_a = N_a/V$ . Плотности разностей населенности  $r_{1,2}$  нормированы на  $n_a$ . Следовательно,  $r_1$  изменяется в пределах:  $-1 < r_1 < 1$ , а начальное значение для  $r_2$ :  $r_2(x, 0) = -n_b/n_a$  задает отношение плотностей быстрых и медленных атомов. Безразмерные скорости однородной релаксации определяются выражением

$$a_{1,2} = \tau/T_2^{(a,b)}, \quad (2)$$

а коэффициенты  $\beta_{1,2}$  имеют вид

$$\beta_{1,2} = \frac{2\pi\omega_0|d_{a,b}|^2\tau^2}{\hbar} n_a.$$

Последние два слагаемых в правой части первых двух уравнений системы (1) описывают источники спонтанной поляризации, а  $F(x, t)$  в уравнении для  $r_1$  есть скорость накачки:

$$F(x, t) = F_0 \exp[-(t - t_0)^2/\tau_p^2], \quad (3)$$

где  $F_0\tau_p\sqrt{\pi} = 1$ .

Начальные условия имеют вид

$$a_{1,2}(x, 0) = p_{1,2}(x, 0) = q_{1,2}(x, 0) = 0,$$

$$r_1(x, 0) = 0, \quad r_2(x, 0) = -r_0. \quad (4)$$

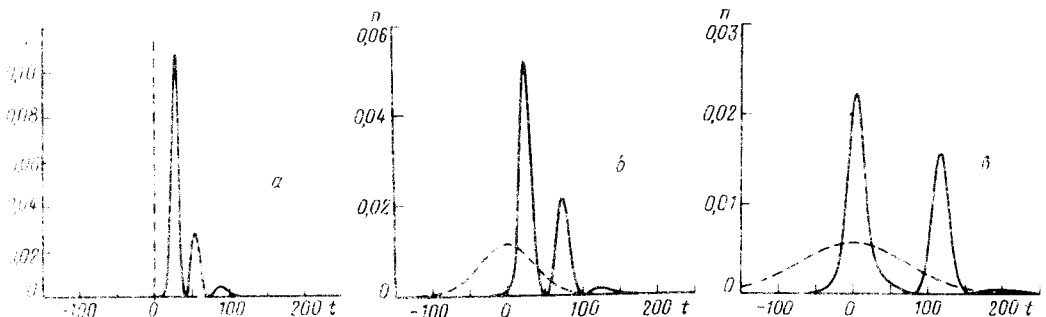


Рис.1 Профиль импульса СИ однокомпонентной среды ( $\alpha_1 = 0,01$ ,  $\beta_1 = 1$ ,  $\tau_0 = 0$ ) при различных значениях длительности импульса накачки  $\tau_p = 0$  (a), 50 (б), 100 (в)

На рис.1 показано как изменяется профиль импульса СИ однокомпонентной среды (с параметрами  $\alpha_1 = 0,01$ ,  $\beta_1 = 1$ ) по мере увеличения длительности импульса накачки ( $\tau_p = 0$  (а), 50 (б), 100 (в)). Мы видим, что с ростом  $\tau_p$  интенсивность импульса падает, а его длительность увеличивается. На рис.2 показана динамика трансформации профиля импульса СИ двухкомпонентной среды (с параметрами  $\alpha_1 = 0,01$ ,  $\beta_1 = 1$ ,  $\alpha_2 = 6,1$ ,  $\beta_2 = 15$ , при длительности

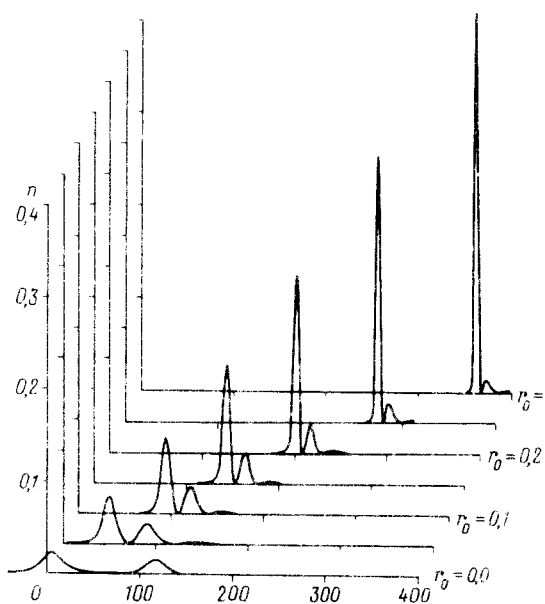


Рис. 2

Рис.2. Профиль импульса СИ двухкомпонентной среды (с параметрами  $\alpha_1 = 0,01$ ,  $\beta_1 = 1$ ,  $\alpha_2 = 0,1$ ,  $\beta_2 = 15$ , и длительностью импульса накачки  $\tau_p = 100$ ) для различных значений концентрации быстрой компоненты  $r_0$

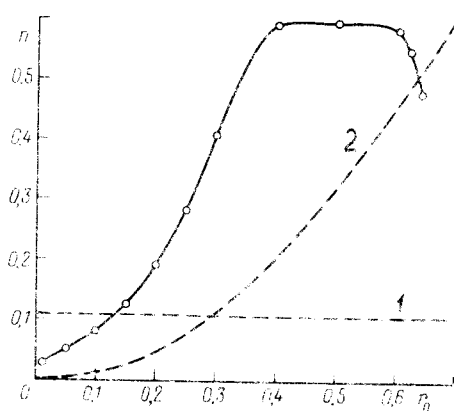


Рис.3

Рис.3. Зависимость пикового значения интенсивности импульса СИ двухкомпонентной среды (с параметрами  $\alpha_1 = 0,01$ ,  $\beta_1 = 1$ ,  $\alpha_2 = 0,1$ ,  $\beta_2 = 15$  и длительностью импульса накачки  $\tau_p = 100$ ) от концентрации быстрой компоненты

импульса накачки  $\tau_p = 100$ ) по мере роста концентрации быстрой компоненты. Видно, что с ростом  $r_0$  происходит увеличение времени задержки импульса, сокращение его длительности и рост пикового значения интенсивности. При  $r_0 = 0,13$  восстанавливается профиль импульса СИ для однокомпонентной среды при мгновенной накачке (см. рис.1а). По мере дальнейшего увеличения  $r_0$  интенсивность импульса генерации начинает превосходить интенсивность импульса СИ для медленной компоненты при мгновенной накачке. На рис.3 представлена результирующая кривая зависимости пикового значения интенсивности от концентрации  $r_0$  быстрой компоненты. Пунктирная линия 1 указывает величину пикового значения интенсивности СИ для однокомпонентной среды, состоящей из медленных атомов, при мгновенной накачке, а штриховая кривая 2 показывает зависимость от плотности числа атомов пикового значения интенсивности СИ для среды, состоящей из быстрой компоненты. Мы видим, что в области  $0,13 \leq r_0 \leq 0,63$  интенсивность СИ двухкомпонентной среды превосходит интенсивность СИ для каждой из компонент в отдельности, а профиль импульса таков, что большая часть энергии излучения сосредоточена в пределах первого пика.

3. Проведенные исследования показали, что использование двухкомпонентных сверхизлучающих сред открывает новые возможности управления параметрами и формой генерируемых импульсов. Варьируя концентрации компонент и длину активной среды, мы можем управлять характером пространственно-временной динамики генерации, что позволяет существенно увеличивать ин-

- 
1. А.В.Андреев, В.И.Емельянов, Ю.А.Ильинский, УФН **131**, 653 (1980).
  2. M.Gross and S.Haroche, Phys. Rep. **93**, 1 (1982).
  3. Н.Н.Боголюбов, В.И.Плещко, А.С.Шумовский, ЭЧАЯ **14**, 1443 (1983).
  4. В.В.Железняков, В.В.Кочаровский, Вл.В.Кочаровский, УФН **159**, 193 (1989).
  5. А.В.Андреев, УФН **160**, 1 (1990).
  6. J.C.MacGillivray and M.S.Feld, Phys. Rev. A **23**, 1334 (1981).
  7. F.F.Mattar and C.M.Bowden, Phys. Rev. A **27**, 345 (1983).
  8. З.А.Кунринк, В.И.Швядас, Литов. физ. сб. **28**, 763 (1988); **29**, 583 (1989).
  9. D.P.Schäffer, A.W.Kalin, R.Kesselring, and F.K.Kneubuhl, Opt. Comm. **87**, 249 (1992).
  10. Н.В.Карлов, Лекции по квантовой электронике. М.: Наука, 1988.